

P13-2010-89

Р. Н. Мехтиева\*, Ю. Н. Пепельшев, А. Д. Рогов,  
Л. А. Тайыбов, Чжан Чан Мин

РАСЧЕТ ЭФФЕКТИВНОЙ ДОЛИ  
ЗАПАЗДЫВАЮЩИХ НЕЙТРОНОВ  
И ВРЕМЕНИ ЖИЗНИ МГНОВЕННЫХ НЕЙТРОНОВ  
В РЕАКТОРЕ **ИБР-2М**

Направлено в журнал «Атомная энергия»

---

\*Институт радиационных проблем Национальной академии наук Азербайджана, Баку

Расчет эффективной доли запаздывающих нейтронов  
и времени жизни мгновенных нейтронов в реакторе ИБР-2М

Проведен расчет основных параметров кинетики реактора ИБР-2М: эффективной доли запаздывающих нейтронов  $\beta_{эф}$  и времени жизни мгновенных нейтронов  $\tau$ . Расчет основывался на использовании двухмерной многогрупповой программы переноса нейтронов и программ SCALE4 с системой многогрупповых ядерных констант.

Для штатного режима работы ИБР-2М получены следующие значения параметров кинетики:  $\beta_{эф} = 0,00216 \pm 0,00007$ ,  $\tau = 6,5 \cdot 10^{-8}$  с, ценность запаздывающих нейтронов  $\chi = 0,980$  и константа спада мгновенных нейтронов в критическом состоянии реактора  $\alpha = 3,50 \cdot 10^4$  с<sup>-1</sup>. Величины  $\beta_{эф}$  и  $\tau$  на  $\sim 0,2$  и  $\sim 5,0\%$  больше, чем для ИБР-2 ( $\beta_{эф} = 0,00216$  и  $\tau = (6,2 \pm 0,2) \cdot 10^{-8}$  с).

Показано некоторое увеличение  $\beta_{эф}$  и  $\tau$  при уменьшении размеров активной зоны ИБР-2 в радиальном направлении.

Работа выполнена в Лаборатории нейтронной физики им. И. М. Франка ОИЯИ.

Препринт Объединенного института ядерных исследований. Дубна, 2010

Calculation of the Effective Delayed Neutron Fraction  
and Prompt Neutron Lifetime in the IBR-2M Reactor

Calculation of main kinetic parameters for the reactor IBR-2M is carried out: the effective delayed neutron fraction and the prompt neutron lifetime. The calculation is based on the use of DORT, a two-dimensional multi-group program for resolving of neutron transport equation, and SCALE4 programs for generating multi-group nuclear cross-sections. Calculation values of kinetic parameters for IBR-2M in a regular mode of its work are obtained:  $\beta_{eff} = 0.00216 \pm 0.00007$ ,  $\tau = 6.5 \cdot 10^{-8}$  s,  $\chi = 0.980$ ,  $\alpha = 3.50 \cdot 10^4$  s<sup>-1</sup>. The parameters  $\beta_{eff}$  and  $\tau$  are  $\sim 0.2\%$  and  $\sim 5.0\%$  greater than for IBR-2 ( $\beta_{eff} = 0.00216$  and  $\tau = (6.2 \pm 0.2) \cdot 10^{-8}$  s). It is shown that  $\beta_{eff}$  and  $\tau$  increase with reduction of the size of the active zone. Also, it is noted that for calculation of prompt neutron lifetime it is necessary to use the  $S_{16}$ -approximation.

The investigation has been performed at the Frank Laboratory of Neutron Physics, JINR.

Preprint of the Joint Institute for Nuclear Research. Dubna, 2010

## ВВЕДЕНИЕ

В кинетике ядерных реакторов эффективная доля запаздывающих нейтронов  $\beta_{\text{эф}}$  и время жизни мгновенных нейтронов  $\tau$  являются одними из основных параметров. Для импульсных реакторов типа ИБР-2 величина  $\tau$  определяет длительность импульса мощности и наряду с  $\beta_{\text{эф}}$  используется в анализе условий безопасной работы реактора. Численные значения параметров кинетики зависят от состава и геометрии активной зоны. По сравнению с реактором ИБР-2 активная зона модернизированного реактора ИБР-2М более компактная. В то же время конструкция ИБР-2М такова, что экспериментальное измерение  $\beta_{\text{эф}}$  и  $\tau$  традиционными методами невозможно. Кроме того, как правило, эти параметры нельзя измерить отдельно. Качественно величину  $\tau$  для ИБР-2М можно оценить из анализа формы импульса мощности, а  $\beta_{\text{эф}}$  — из анализа шумов энергии импульсов [1, 2] при условии, что величина  $\tau$  уже была оценена ранее. Отсюда расчет  $\beta_{\text{эф}}$  и  $\tau$  для ИБР-2М приобретает особое значение.

### 1. ЭЛЕМЕНТЫ ТЕОРИИ, ОТНОСЯЩЕЙСЯ К РАСЧЕТУ ЭФФЕКТИВНОЙ ДОЛИ ЗАПАЗДЫВАЮЩИХ НЕЙТРОНОВ И ВРЕМЕНИ ЖИЗНИ МГНОВЕННЫХ НЕЙТРОНОВ

Эффективная доля запаздывающих нейтронов  $\beta_{\text{эф}}$ , зависящая от состава и геометрии активной зоны, отличается от теоретической доли запаздывающих нейтронов  $\beta$ , определяемой как отношение числа запаздывающих нейтронов к числу всех нейтронов для данного делящегося ядра. Это связано с тем, что запаздывающие нейтроны испускаются с более низкими энергиями, чем мгновенные, и, следовательно, вероятность вызвать последующие деления (их ценность по отношению к делению) отличается от мгновенных нейтронов. Время жизни мгновенных нейтронов в реакторе определяется как величина, обратная вероятности исчезновения нейтрона в единицу времени из реактора вследствие любых процессов. В кинетике реактора используются также две связанные с  $\beta_{\text{эф}}$  и  $\tau$  величины: ценность запаздывающих нейтронов  $\chi = \beta_{\text{эф}}/\beta$  — число, показывающее, во сколько раз величина эффективной доли запаздывающих нейтронов больше теоретической, и константа спада

мгновенных нейтронов, которая в критическом состоянии реактора выражается в виде  $\alpha = \beta_{\text{эф}}/\tau$ .

Во многих работах, например [3, 4], рассмотрены различные методы расчета  $\beta_{\text{эф}}$  и  $\tau$ . Из анализа этих работ следует, что наиболее приемлемый для ИБР-2 и ИБР-2М метод расчета  $\beta_{\text{эф}}$  и  $\tau$  есть метод, основанный на теории возмущений, в которой величины  $\beta_{\text{эф}}$  и  $\tau$  оцениваются из решения стационарного уравнения переноса нейтронов в виде

$$\beta_{\text{эф}} = \sum_A \beta_{\text{эф}}^A = \frac{1}{\text{ЦНД}} \nu_d \sum_A \int_V dV N_A \sum_{g=1}^G \chi_{D,g}^A \Phi_g^+(r) \sum_{l=1}^G \Sigma_f^A \Phi_l(r), \quad (1)$$

$$\text{ЦНД} = \int dV \sum_A N_A \sum_{g=1}^G \nu_f \Sigma_f^A \Phi_g(r) \sum_{l=1}^G \chi_l^A \Phi_l^+(r), \quad (2)$$

$$\tau = \frac{1}{\text{ЦНД}} \sum_k \int_V \int_{\Omega} \frac{1}{v_k} \Phi_k(\mathbf{r}, \Omega) \Phi_k^+(\mathbf{r}, -\Omega) dV d\Omega, \quad (3)$$

где ЦНД — ценность нейтронов деления,  $\nu_d$  — число запаздывающих нейтронов на один акт деления,  $\Phi_g(r)$  — плотность потока нейтронов в энергетической группе  $g$ , где  $g = \overline{1, G}$ ,  $G$  — число энергетических групп,  $\chi_{D,g}^A = \sum_i \chi_{D,g}^{A,i} a_i^{A,g}$  — доля спектра запаздывающих нейтронов в энергетической группе  $g$ , где  $\chi_{D,g}^{A,i}$  — доля  $i$ -й группы запаздывающих нейтронов, испускаемых нуклидом  $A$  и попадающих в энергетическую группу  $g$ ,  $a_i^{A,g}$  — относительный выход  $i$ -й группы запаздывающих нейтронов, принадлежащих энергетической группе  $g$ ,  $V$  — объем активной зоны,  $\chi_l$  — доля спектра всех нейтронов деления в энергетической группе  $l$ ,  $N_A$  — концентрация нуклида с номером  $A$ ,  $\Sigma_f^A$  — макроскопическое сечение деления нуклида с номером  $A$ ,  $\Phi_l^+(r)$  — сопряженная функция потока нейтронов в энергетической группе  $l = \overline{1, L}$ ,  $L$  — число энергетических групп,  $\nu_f$  — число всех нейтронов на один акт деления,  $v_g$  — скорость нейтронов в энергетической группе  $g$ .

## 2. МЕТОДИЧЕСКИЕ ОСОБЕННОСТИ РАСЧЕТА $\beta_{\text{эф}}$ И $\tau$

Чтобы вычислять эффективную долю запаздывающих нейтронов и время жизни мгновенных нейтронов по указанным выше формулам, нужно с хорошей точностью знать прямые и сопряженные потоки нейтронов в активной зоне реактора. Для ИБР-2М, как следует из [5], для получения расчетной плотности потока нейтронов достаточно использовать двухмерный расчет по радиусу и высоте активной зоны. Кроме того, в работе [5] было отмечено, что для учета сложных неоднородностей в энергетическом спектре

нейтронов на периферии активной зоны, возникающих из-за влияния отраженных от реакторных конструкций нейтронов, необходимо использовать многогрупповое уравнение переноса нейтронов. Исходя из этих требований был выбран комплекс программ DORT [6] — двухмерный многогрупповой комплекс программ переноса нейтронов на базе метода дискретных ординат в  $S_n$ -приближении и комплекс программ SCALE4 [7] с системой многогрупповых ядерных констант. Основная идея метода дискретных ординат заключается в том, что угловое распределение потока нейтронов аппроксимируется функцией, определенной в дискретных узлах угловой переменной ( $S_n$ -приближение). Использование этих программ вызвано тем, что комплекс программ DORT не имеет своей системы групповых ядерных констант, а комплекс SCALE4 имеет, но только применительно к одномерной геометрии. Поэтому с помощью программы SCALE4 были подготовлены 16-групповые сечения для двухмерных многогрупповых нейтронно-транспортных расчетов по программам DORT. Это позволило вычислять распределение прямых и сопряженных плотностей потока нейтронов. Для учета анизотропии плотности потока нейтронов и сечения рассеяния использовалось транспортное  $P_1$ -приближение. Тестовая проверка применения двухмерно-многогруппового комплекса программ переноса нейтронов DORT и одномерно-многогруппового комплекса программ SCALE4 с системой многогрупповых ядерных констант к расчету плотности потока нейтронов в реакторе ИБР-2М была проведена в более раннем исследовании [5]. Далее после вычисления прямой и сопряженной плотностей потоков нейтронов по формулам (1)–(3) вычисляются эффективная доля запаздывающих нейтронов и время жизни мгновенных нейтронов. Схема расчета представлена на рис. 1.

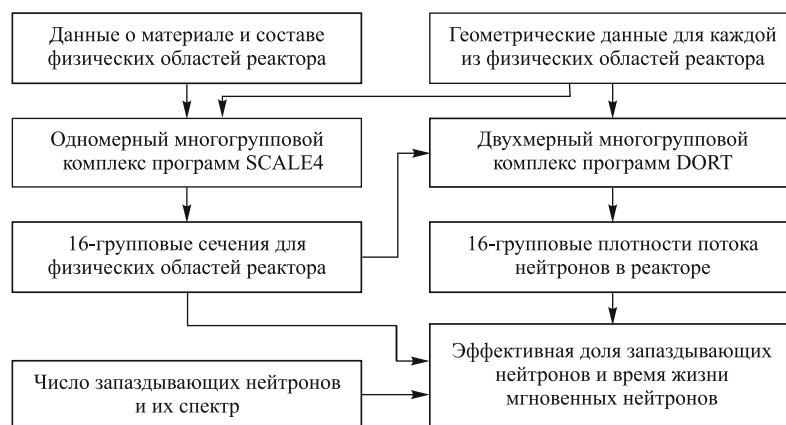


Рис. 1. Схема расчета эффективной доли запаздывающих нейтронов и времени жизни мгновенных нейтронов ИБР-2М

### 3. ОЦЕНКА ВЛИЯНИЯ ИСПОЛЬЗУЕМЫХ ПРИБЛИЖЕНИЙ НА ТОЧНОСТЬ РАСЧЕТОВ $\beta_{эф}$ И $\tau$

Чтобы оценить точность расчета  $\beta_{эф}$  и  $\tau$ , выполненного по указанной выше методике, были проведены тестовые исследования по влиянию используемых приближений на расчетные величины. Для этого были проведены расчеты  $\beta_{эф}$  и  $\tau$  для различных систем, для которых имелись экспериментальные значения  $\beta_{эф}$  или  $\tau$ . В качестве объекта тестовых расчетов были выбраны реактор ИБР-2 с известным экспериментальным значением  $\tau$  и критическая сборка ZPR-III-59 с измеренным значением  $\beta_{эф}$ . Реактор ИБР-2 близок к ИБР-2М по типу и составу активной зоны. Сборка ZPR-III-59 близка к реактору ИБР-2М по составу и геометрическим размерам твэлов [8]. Сборка ZPR-III-59 является быстрой критической сборкой с плутониевым топливом, замедлителем из графита и отражателем из свинца. Загрузка топлива в активной зоне ZPR-III-59  $\sim 80$  кг близка к загрузке зоны реактора ИБР-2М. На рис. 2 показаны спектры нейтронов в активной зоне ZPR-III-59 и ИБР-2М. Расчетный спектр нейтронов в ИБР-2 практически совпадает со спектром в ИБР-2М. Из рис. 2 видно, что графитовые замедлители сборки ZPR-III-59 не сильно смягчают спектр быстрых нейтронов в активной зоне, и, соответственно, условия расчета параметров кинетики в ZPR-III-59 будут близки к расчету ИБР-2М.

**3.1. Выбор сетки.** В расчетах кинетических параметров по методу дискретных ординат, как правило, требуется брать более мелкую сетку, чем в расчетах в диффузионном приближении. В общем случае, чем выше приближение, тем мельче должна быть сетка. В среднем рекомендуется выбирать

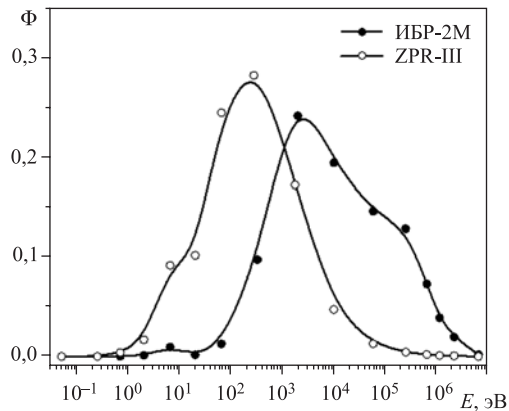


Рис. 2. Расчетный спектр нейтронов в активной зоне ИБР-2М и ZPR-III-59 в относительных единицах

два-три интервала на одну транспортную длину нейтронов [11]. Обычно расчетный интервал в цилиндрической и сферической геометриях выбирается из соотношения

$$h_R = \frac{1}{B} \min_g l_{tr}^g, \quad (4)$$

где  $B = 2-3$ ,  $l_{tr}^g$  — транспортная длина нейтронов в  $g$ -энергетической группе.

Для ИБР-2 минимальное значение транспортной длины из всех групп с энергией нейтронов более 10 эВ составило  $\sim 1,0$  см. С помощью (4) шаг расчетной сетки был оценен 0,3–0,5 см.

Полученное приближение шага сетки обеспечивает достаточно точное вычисление интегральных величин типа эффективного коэффициента размножения нейтронов  $k_{эф}$ , но может приводить к трудностям при расчете систем с сильно меняющимся спектром.

**3.2. Влияние  $S_n$ -приближения.** Число дискретных узлов угловой переменной ( $S_n$ -приближение) определяет точность расчета распределения потока нейтронов по углу. Чем больше анизотропия в реакторе, тем большее число узлов необходимо использовать. Для ZPR-III-59 и ИБР-2 были проведены оптимизационные расчеты  $\beta_{эф}$  и  $\tau$  в зависимости от числа узлов. Результаты расчета для ИБР-2 показаны на рис. 3. Видно, что при  $S_n$  выше 8 величина  $\beta_{эф}$  мало меняется с номером приближения. Максимальное отличие расчетных данных по  $\beta_{эф}$  в  $S_8$ - и  $S_{16}$ -приближениях для ZPR-III-59 и ИБР-2 составляет  $\sim 0,02$  и  $\sim 0,01$  %. При оценке времени жизни увеличение номера приближения приводит к уменьшению этой величины. Из анализа данных отличие в использовании  $S_8$ - от  $S_{16}$ -приближения при оценке времени жизни мгновенных нейтронов в ZPR-III-59 составляет  $\sim 4,9$  %, для ИБР-2 —  $\sim 4,5$  %.

Расчетные значения  $\beta_{эф}$  и  $\tau$  в зависимости от номера  $S_n$ -приближения для ИБР-2 представлены на рис. 3. Из рис. 3 видно, что величина  $\beta_{эф}$  слабо меняется от номера приближения, и для расчета эффективной доли запаздывающих нейтронов достаточно использовать приближение  $S_8$ . Для оценки

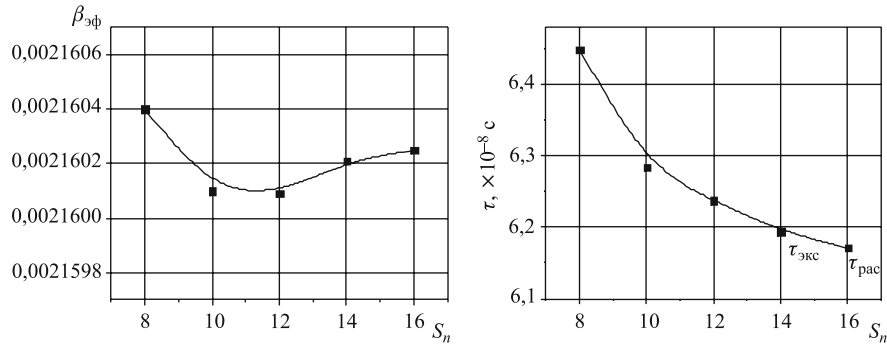


Рис. 3. Зависимости  $\beta_{эф}$  и  $\tau$  от номера  $S_n$ -приближения в ИБР-2

времени жизни необходимо использовать его асимптотическое с увеличением номера приближения значение. Это значение практически реализуется в  $S_{16}$ -приближении  $\tau = 6,17 \cdot 10^{-8}$  с. Расчетное асимптотическое значение  $\tau$  близко к измеренному  $\tau = (6,2 \pm 0,2) \cdot 10^{-8}$  с [9]. Отсюда было принято все расчеты по  $\tau$  для ИБР-2М проводить в  $S_{16}$ -приближении.

**3.3. Влияние констант на точность расчета  $\beta_{эф}$  и  $\tau$ .** В настоящее время существует несколько библиотек по ядерным данным [10]. Данные по запаздывающим нейтронам для разных библиотек имеют различия, хотя и небольшие. В таблице показано сравнение расчетных значений эффективной доли запаздывающих нейтронов для ZPR-III-59 и ИБР-2, полученных с использованием разных библиотек ядерных данных ( $\nu_d$  — число запаздывающих нейтронов на один акт деления,  $\Delta\beta_{эф}$  — отличие от экспериментального значения  $\beta_{эф}$ ). Там же приведены экспериментальные значения  $\beta_{эф}$ . Как видно из таблицы, расчетные значения  $\beta_{эф}$  близки к экспериментальным. Из таблицы также можно видеть, что  $\beta_{эф}$  достаточно сильно зависит от числа запаздывающих нейтронов на один акт деления. Для ZPR-III-59 максимальное отличие составляет +5,1 % и для ИБР-2 +2,2 %. В случае использования  $\nu_d$  из работы [10] (Tuttle (1979)) получается значение  $\beta_{эф}$ , наиболее близкое к экспериментальному значению как для ZPR-III-59, так и для ИБР-2.

Расчетное значение  $\beta_{эф}$ , равное 0,00239 для ZPR-III-59, отличается от измеренного  $0,00233 \pm 0,0001$  на +2,6 % [8]. Для ИБР-2 расчетное значение  $\beta_{эф} = 0,002160$  практически совпадает с экспериментальным  $0,002167 \pm 0,000015$  [9]. Из анализа расчетных данных можно сказать, что погрешность расчетной оценки  $\beta_{эф}$  для ИБР-2М будет не более  $\pm 3$  %.

**Сравнение расчетных значений  $\beta_{эф}$  с использованием данных по запаздывающим нейтронам из разных библиотек с экспериментальными значениями  $\beta_{эф}$  ( $S_{16}$ -приближение)**

Доля запаздывающих нейтронов		ZPR-III-59		ИБР-2	
Библиотека	$\nu_d$	$\beta_{эф}$	$\Delta\beta_{эф}, \%$	$\beta_{эф}$	$\Delta\beta_{эф}, \%$
ENDF/B-VII	0,00644	0,00244	+4,7	0,002208	+1,9
JENDL-3.3	0,00627	0,00238	+2,1	0,002150	-0,8
JEF-2.2	0,00646	0,00245	+5,1	0,002215	+2,2
Tuttle (1979)	0,00630	0,00239	+2,6	0,002160	-0,3
Эксперимент		0,00233 $\pm$ 0,0001		0,002167 $\pm$ 0,000015	

#### 4. ОСНОВНЫЕ РЕЗУЛЬТАТЫ И ИХ АНАЛИЗ

Активная зона реактора ИБР-2М отличается от ИБР-2 ее размером. Загрузка ИБР-2М составляет 69 ТВС, загрузка ИБР-2 — 78 ТВС, т. е. загрузка ИБР-2М на 9 ТВС меньше. На рис. 4 показаны горизонтальные разрезы реакторов ИБР-2 и ИБР-2М.

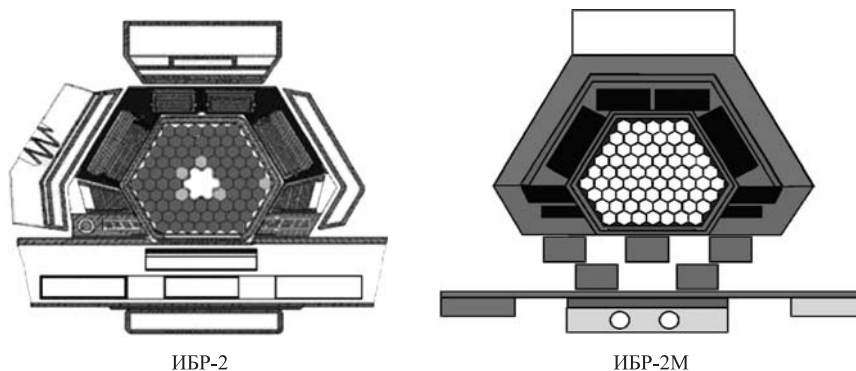


Рис. 4. Горизонтальные разрезы реакторов ИБР-2 и ИБР-2М

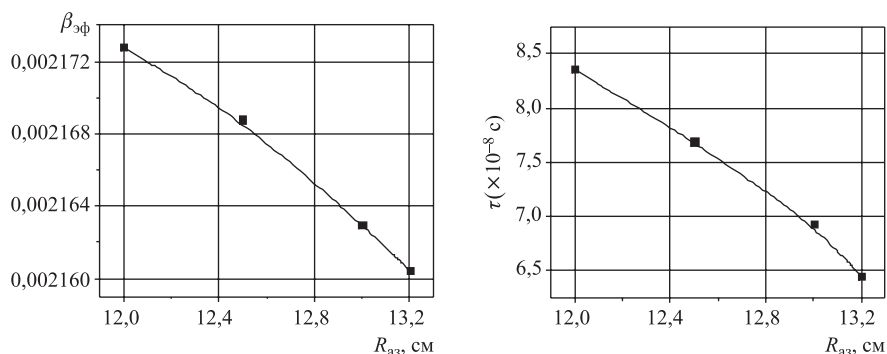


Рис. 5. Зависимости расчетных значений  $\beta_{эф}$  и  $\tau$  от радиуса  $R_{аз}$  активной зоны ИБР-2 ( $S_8$ -приближение)

С использованием  $S_{16}$ -приближения и оптимального шага сетки 0,5 см для штатного режима работы реактора ИБР-2М были получены следующие значения:  $\beta_{эф} = 0,00216 \pm 0,00007$  и  $\tau = 6,5 \cdot 10^{-8}$  с. Ценность запаздывающих нейтронов и константа спада мгновенных нейтронов в критическом состоянии ИБР-2М равны  $\chi = 0,980$ ,  $\alpha = 3,50 \cdot 10^4 \text{ с}^{-1}$  соответственно. Эффективная доля запаздывающих нейтронов и времени жизни мгновенных нейтронов на  $\sim 0,2$  и  $\sim 5,0\%$  соответственно больше, чем для ИБР-2 ( $\beta_{эф} = 0,00216$  и  $\tau = (6,2 \pm 0,2) \cdot 10^{-8}$  с).

Покажем, почему в меньшей по размеру активной зоне ИБР-2М величина  $\tau$  оказалась несколько большей, чем в ИБР-2. Для этой цели были проведены тестовые расчеты, в которых  $\beta_{эф}$  и  $\tau$  вычислялись в зависимости от радиуса активной зоны ZPR-III-59 и ИБР-2. Как видно из рис. 5, чем больше радиус активной зоны, тем меньше значения  $\beta_{эф}$  и  $\tau$ . Аналогичные выводы следуют

также из расчета  $\beta_{эф}$  и  $\tau$  для ZPR-III-59. Здесь следует отметить, что с точки зрения расчетной методики любое изменение радиуса или высоты активной зоны приводит к совершенно новому реактору. Поэтому данные, представленные на рис. 5, — это чисто иллюстративный материал, показывающий, что в указанной области изменения радиуса активной зоны проведенные расчеты параметров кинетики ИБР-2 и ИБР-2М правильно отражают суть изменений. Частично такое изменение значения  $\tau$  с изменением радиуса активной зоны связано с тем, что близкое для ИБР-2 оптимальное отношение высоты активной зоны к диаметру после модернизации увеличилось. Это привело к тому, что в критическом состоянии реактора ценность мгновенных нейтронов уменьшилась, соответственно, значение  $\tau$  увеличилось.

## ВЫВОДЫ

Проведен расчет основных параметров кинетики реактора ИБР-2М: эффективной доли запаздывающих нейтронов  $\beta_{эф}$  и времени жизни мгновенных нейтронов  $\tau$ . Расчет основывался на использовании двухмерной многогрупповой программы переноса нейтронов и программ SCALE4 с системой многогрупповых ядерных констант.

Расчетные значения кинетических параметров ИБР-2М в штатном режиме его работы следующие:  $\beta_{эф} = 0,00216 \pm 0,00007$ ,  $\tau = 6,5 \cdot 10^{-8}$  с,  $\chi = 0,980$ ,  $\alpha = 3,50 \cdot 10^4$  с<sup>-1</sup>. Величины  $\beta_{эф}$  и  $\tau$  на  $\sim 0,2$  и  $\sim 5,0$  % больше, чем для ИБР-2 ( $\beta_{эф} = 0,00216$  и  $\tau = (6,2 \pm 0,2) \cdot 10^{-8}$  с).

Анализ тестовых расчетов для сборки ZPR-III-59 и реактора ИБР-2, близких по составу и геометрии к ИБР-2М, показал, что наблюдается заметное увеличение  $\beta_{эф}$  и  $\tau$  при уменьшении размеров активной зоны в радиальном направлении.

## ЛИТЕРАТУРА

1. *Пепельшев Ю. Н.* Метод экспериментальной оценки эффективной доли запаздывающих нейтронов и времени жизни поколения нейтронов реактора ИБР-2. Препринт ОИЯИ Р13-2007-96. Дубна, 2007.
2. *Пепельшев Ю. Н., Смирнов В. С.* Измерение среднего времени жизни поколения нейтронов в реакторе ИБР-2. Препринт ОИЯИ Р13-2006-115. Дубна, 2006.
3. *Michalek S., Hascik J., Farkas G.* MCNP5 Delayed Neutron Fraction ( $\beta_{эф}$ ) Calculation in Training Reactor VR-1 // J. of Electrical Engineering. 2008. V. 59, No. 4. P. 221–224.
4. *Зизин М. Н., Ярославцева Л. Н.* Расчет эффективной доли запаздывающих нейтронов и времени жизни мгновенных нейтронов для быстрых критических сборок // Тр. трехстороннего советско-бельгийско-голландского симпозиума по некоторым проблемам физики быстрых реакторов. Мелекес, февр. 1970 г. Т. 1. М.: ЦНИИАтоминформ, 1970.

5. *Чжан Чан Мин*. Влияние термомеханических перемещений реакторных конструкций на реактивность ИБР-2М. Сообщение ОИЯИ Р13-2009-166. Дубна, 2009.
6. *Johnson J. O.* DORT: A Two-Dimensional Discrete Ordinates Transport Code, ORNL/TM-11778. ORNL, 1992.
7. *Greene N. M., Petrie L. M.* SCALE: A Modular Code System for Performing Standardized Computer Analyses for Licensing Evaluation. V. I–III, NUREG/CR-0200 (ORNL/NUREG/CSD-2/R6), 2000.
8. *Carpenter S. G., Gasidlo J. M., Stevenson J. M.* Measurements of the Effective Delayed-Neutron Fraction in Two Fast Critical Experiments // Nucl. Sci. Eng. 1972. V. 49. P. 236–239.
9. *Пепельшев Ю. Н., Смирнов В. С.* Измерение среднего времени жизни поколения нейтронов в ИБР-2 // АЭ. 2007. Т. 103, вып. 3.
10. *McKnight R. P.* Delayed Neutron Data for the Major Actinides. A Report by the Working Party, on International Evaluation Co-operation of the NEA Nuclear Science Committee. V. 6, NEA/WPEC-6, OECD, 2002.
11. *Зизин М. Н.* Расчет нейтронно-физических характеристик реакторов на быстрых нейтронах. М.: Атомиздат, 1978. 104 с.

Получено 26 июля 2010 г.

Редактор *Е. В. Сабаева*

Подписано в печать 24.09.2010.

Формат 60 × 90/16. Бумага офсетная. Печать офсетная.

Усл. печ. л. 0,75. Уч.-изд. л. 0,88. Тираж 305 экз. Заказ № 57097.

Издательский отдел Объединенного института ядерных исследований  
141980, г. Дубна, Московская обл., ул. Жолио-Кюри, 6.

E-mail: [publish@jinr.ru](mailto:publish@jinr.ru)

[www.jinr.ru/publish/](http://www.jinr.ru/publish/)